



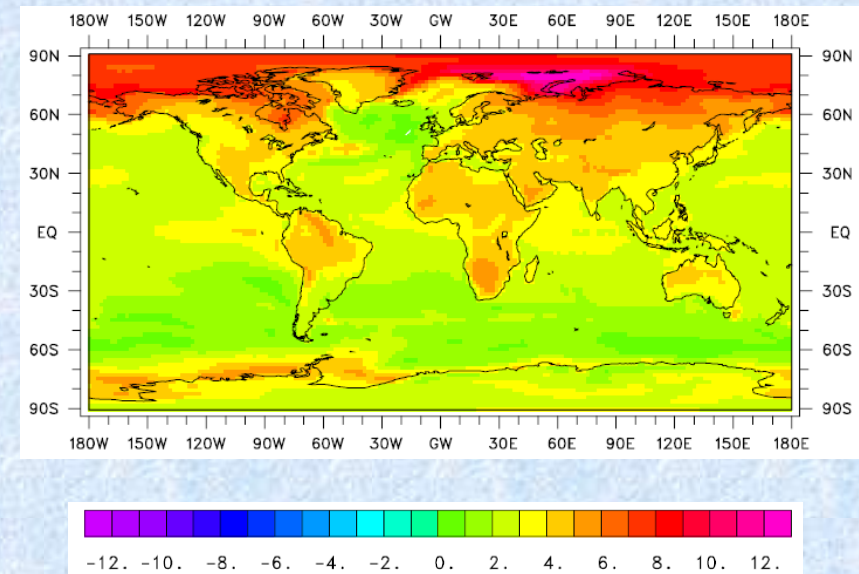
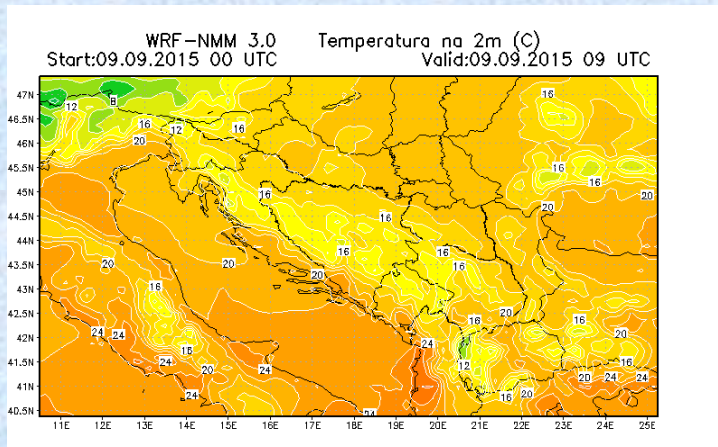
Pojava haosa pri izračunavanju temperature na površini zemljišta

MSc Gordan Mimić

Departman za fiziku, Prirodno-matematički fakultet, Univerzitet u Novom Sadu

Modeli životne sredine

- Opisuju razne procese u prirodi
- Pomažu nam da predvidimo buduće stanje sistema
- Osnovna informacija koju imamo o stanju sistema dobija se merenjem njegovih fizičkih karakteristika
- Model = jedna ili više diferencijalnih jednačina koje adekvatno opisuju evoluciju stanja usled fizičkih procesa koji se odvijaju u tom sistemu



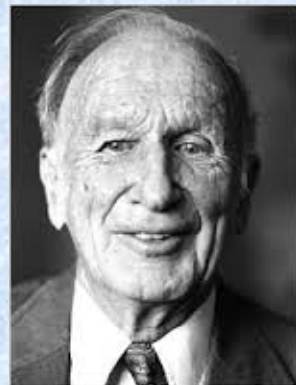
Modeli životne sredine

- Rešavanje diferencijalnih jednačina
 - analitičkim metodama - za idealizovane i znatno pojednostavljene slučajeve – linearizovane sisteme jednačina
 - rešavanje u opštijem, nelinearnom obliku izvodivo je jedino numeričkim metodama
- Metod mreže tačaka - skup tačaka u prostoru za koje se računaju vrednosti zavisno promenljivih veličina (npr. temperatura, pritisak, vlažnost vazduha i td.)
- Spektralni metod - zavisno promenljive veličine se razviju u ortogonalne redove, koji se uvrste u sistem jednačina
- Greške koje se javljaju u rezultatima modela potiču:
 - od toga što ne poznajemo u potpunosti kako se procesi zapravo odvijaju
 - od same prirode procesa jer pojedini sistemi ispoljavaju haotično ponašanje

Dinamički sistemi

- Matematički model predstavljen sa jednom ili više jednačina (koliko promenljivih je potrebno da se pojava u potpunosti opiše)
- Jednačine su u diferencijalnom ili diferencnom obliku (da li vreme posmatramo kontinualno ili u diskretnim koracima)
- Diferencijalne jednačine mogu da budu obične ili parcijalne (da li je u njima diferenciranje po vremenu predstavljeno totalnim ili lokalnim izvodom)
- Diferencne jednačine imaju oblik iterativnih mapa
- Podela dinamičkih sistema na autonomne i neautonomne
 - Autonomni (vreme se ne pojavljuje eksplisitno dok su sve promenljive zavisne od vremena)
 - Neautonomni (vreme se pojavljuje eksplisitno, kada deluje neka vremenski zavisna sila)

Haos

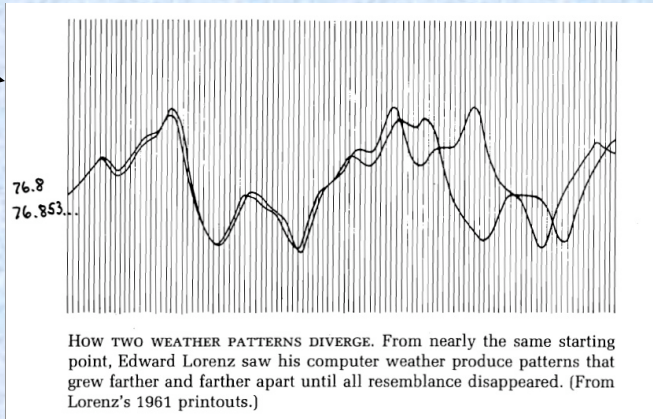


- Whether prediction or not !?

$$\dot{X} = -\sigma X + \sigma Y$$

$$\dot{Y} = -XZ + rX - Y$$

$$\dot{Z} = XY - bZ$$



HOW TWO WEATHER PATTERNS DIVERGE. From nearly the same starting point, Edward Lorenz saw his computer weather produce patterns that grew farther and farther apart until all resemblance disappeared. (From Lorenz's 1961 printouts.)

- Edward N. Lorenz (1963) Deterministic Nonperiodic Flow, *Journal of Atmospheric Sciences* vol. **20**, 130-141
- x , y i z apstraktne promenljive
 - x brzina rotacije
 - y temperaturna razlika između uzdižućeg i spuštajućeg fluida
 - z odstupanje od linearog vertikalnog temperaturnog profila
 - r Rejnoldsov broj, σ Prantlov broj (bezdimenzionalni indikatori turbulentnog kretanja)
 - b razmer cilindra

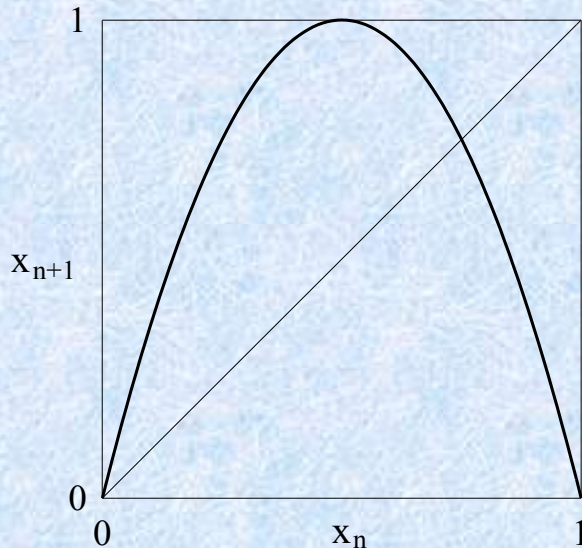
Haos

- Haotično ponašanje sistema
 - Neperiodično
 - Osetljivost na početne uslove (samim tim nepredvidivo dugoročno)
 - Uticaj *kontrolnih parametara*, mala promena u vrednostima utiče na pojavu ili nestanak haosa
 - Jednačine su nelinearne

Logistička mapa

- Logistička mapa (biologija, ekologija, ekonomija...)

$$x_{n+1} = rx_n(1 - x_n)$$



Elementi skupa leže u intervalu $(0,1)$

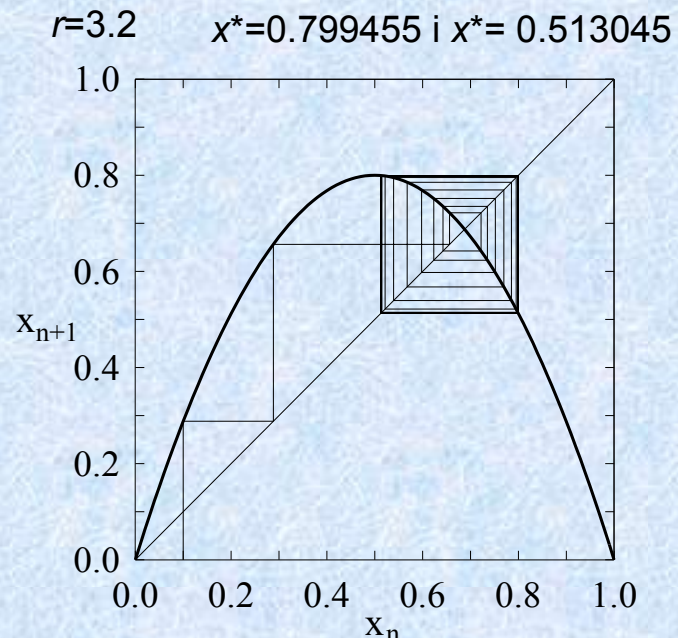
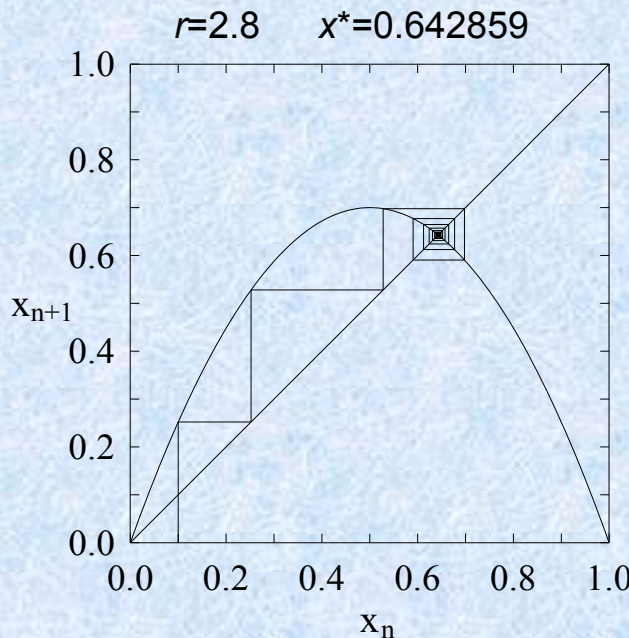
Netrivialno ponašanje za vrednosti parametra $1 < r < 4$

Tačke ekvilibrijuma ili fiksne tačke dinamičkog sistema proizilaze iz uslova $f(x)=x$

$x^*=0$ i $x^*=1-1/r$ ($1 < r < 3$)

Logistička mapa

- Fiksna tačka x^* će biti:
- Ponor - ako su sve tačke iz okoline ε ($\varepsilon>0$) koje su dovoljno bliske x^* tokom iteracija privučene od strane x^* , $|f'(x^*)|<1$
- Izvor - ukoliko su sve tačke iz okoline ε ($\varepsilon>0$) koje su dovoljno bliske x^* tokom iteracija odbijene od x^* , $|f'(x^*)|>1$

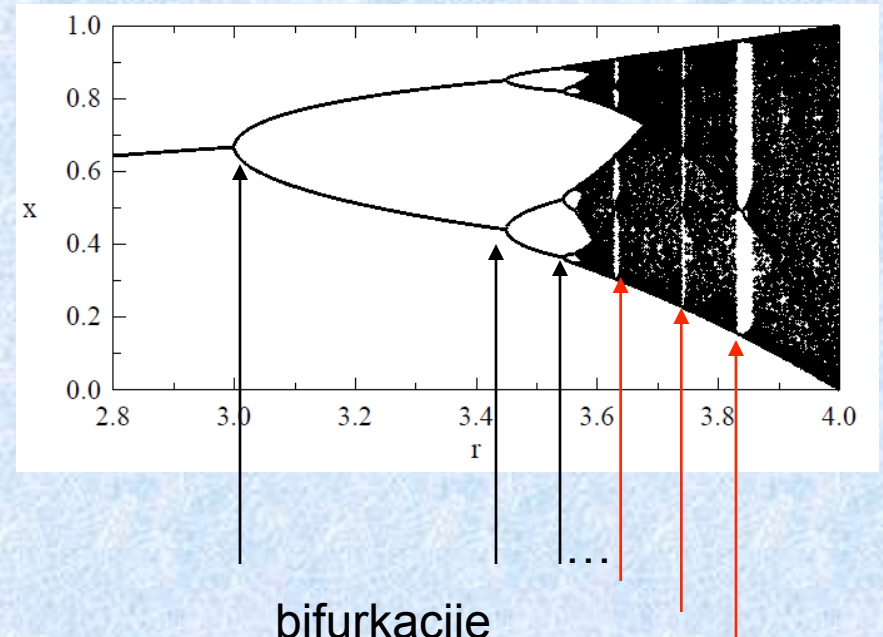
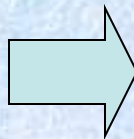
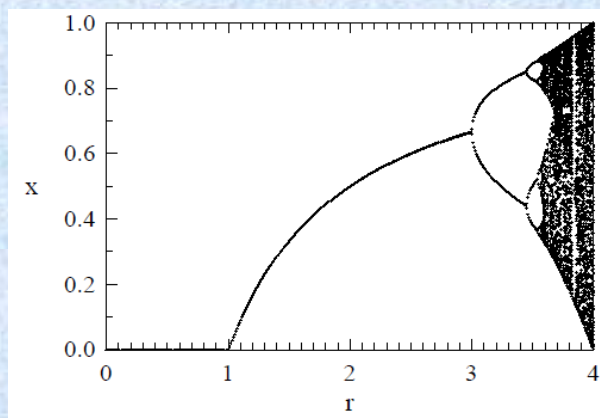


Bifurkacije

- Period 2 postoji za svako $r > 3$ ali postaje nestabilan kada r dostigne vrednost $1 + \sqrt{6}$, što je približno na $r=3.449490$. Tada se javljaju stabilna rešenja sa periodom 4
- Proces se nastavlja sa uzastopnim periodima udvajanja, tako što se pojavi novi period kada prethodni postane nestabilan – bifurkacije
- **Bifurkacije – stanice na putu u haos**
- Period 8 za $r=3.544090$,
- period 16 za $r=3.564407$,
- period 32 za $r=3.568759$,
- period 64 za $r=3.569692$
- $r_\infty = 3.5699456718$ tačka nagomilavanja, postoje svi periodi
- Fajgenbaumov broj $\delta = \lim_{n \rightarrow \infty} \frac{r_n - r_{n-1}}{r_{n+1} - r_n} = 4.669201\dots$

Bifurkacije

Bifurkacioni dijagram



Uređenje Šarkovskog

$$\begin{aligned}3 &> 5 > 7 > \dots > 2 \cdot 3 > 2 \cdot 5 > 2 \cdot 7 > \dots > 2^2 \cdot 3 > 2^2 \cdot 5 > 2^2 \cdot 7 > \dots \\&> 2^n \cdot 3 > 2^n \cdot 5 > 2^n \cdot 7 > \dots > 2^n > \dots > 2^3 > 2^2 > 2 > 1.\end{aligned}$$

bifurkacije

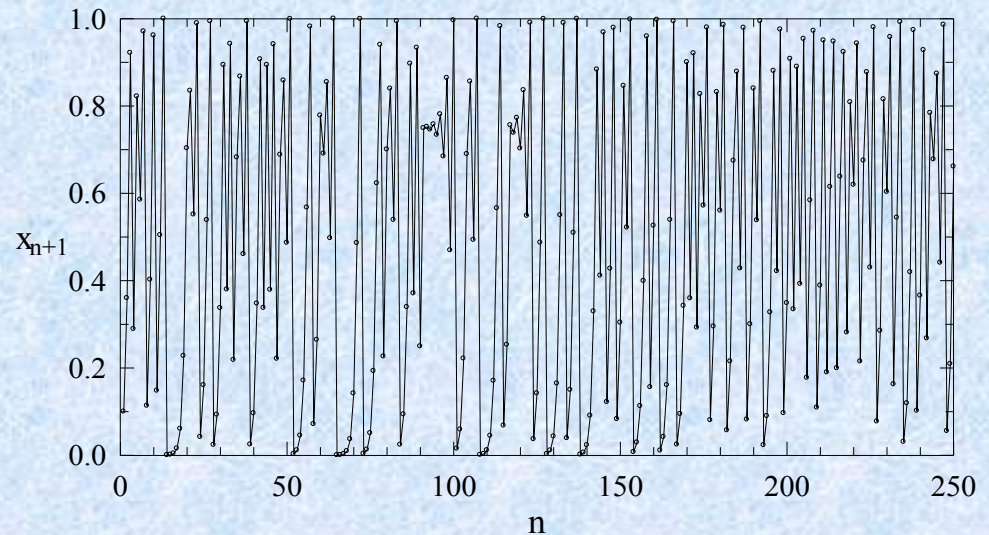
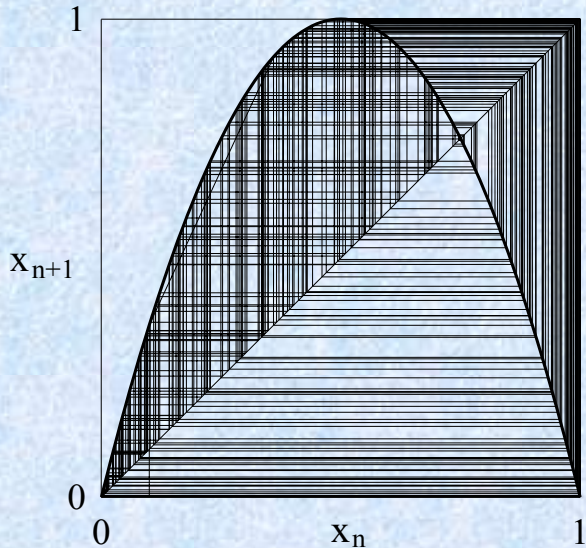
prozori
stabilnosti

Li T.-Y. and Yorke J.A. (1975) Period three implies chaos, *American Mathematical Monthly* **82**, 985-992

Bifurkacije



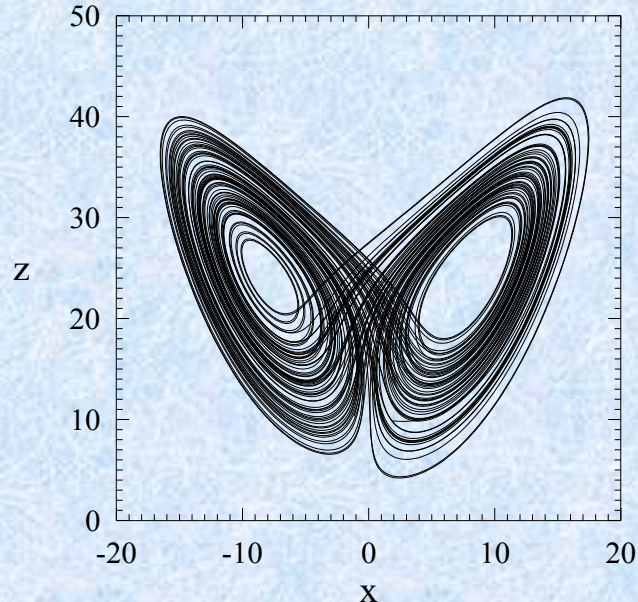
- Slučaj kada je $r=4$ je specijalan zato što nema ponore
- Postavlja se pitanje gde se orbite završavaju
- Postoje dve fiksne tačke $x^*=0$ i $x^*=0.75$ ali su obe nestabilne
- U ovom slučaju mapa pokazuje veoma zanimljivu dinamiku



Izgledao kao nasumično, ipak:

ubrzan porast na malim vrednostima x_n , zatim veliku vrednost x_n prate male vrednosti x_n , kao i porast oscilovanja oko nestabilne fiksne tačke $x^*=0.75$

Atraktor



-U slučaju višedimenzionalnih mapa ili sistema diferencijalnih jednačina, dakle kada postoji više promenljivih

-Analogon privlačnoj fiksnoj tački

-Atraktor je skup tačaka u faznom prostoru koji za određene vrednosti parametara privlači sve trajektorije koje počinju u njegovoj neposrednoj blizini

-Zapremina u faznom prostoru koja obuhvata atraktor i koja sadrži sve tačke koje tokom iteracija završe na atraktoru se naziva **bazen atrakcije**

Ljapunovljevi eksponenti

- Haotično ponašanje proizvodi neku vrstu nasumičnosti, koja bi mogla da objasni kompleksno ponašanje realnih sistema
- Kvantifikacija haosa
- Velika osetljivost na početne uslove → divergencija bliskih trajektorija u faznom prostoru
- Mera - Ljapunovljev eksponent=srednji eksponencijalni rast udaljenosti između dva bliska početna uslova

$$\lambda(x_0) = \lim_{n \rightarrow \infty} \frac{1}{n} \sum_{i=0}^{n-1} \ln |f'(x_i)|$$

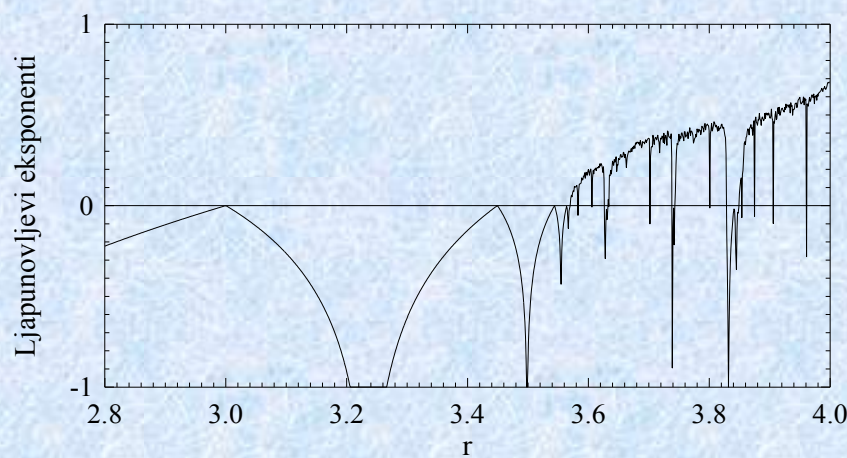
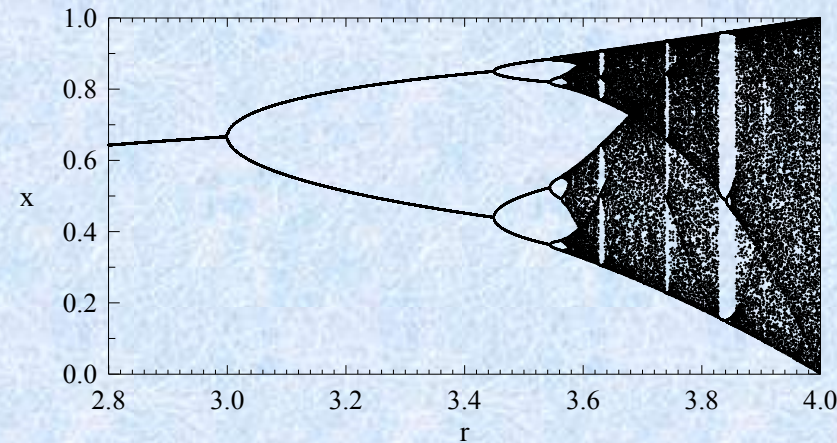
$\lambda < 0$ stabilno

$\lambda = 0$ periodično

$\lambda > 0$ nestabilno



Ljapunovljevi eksponenti



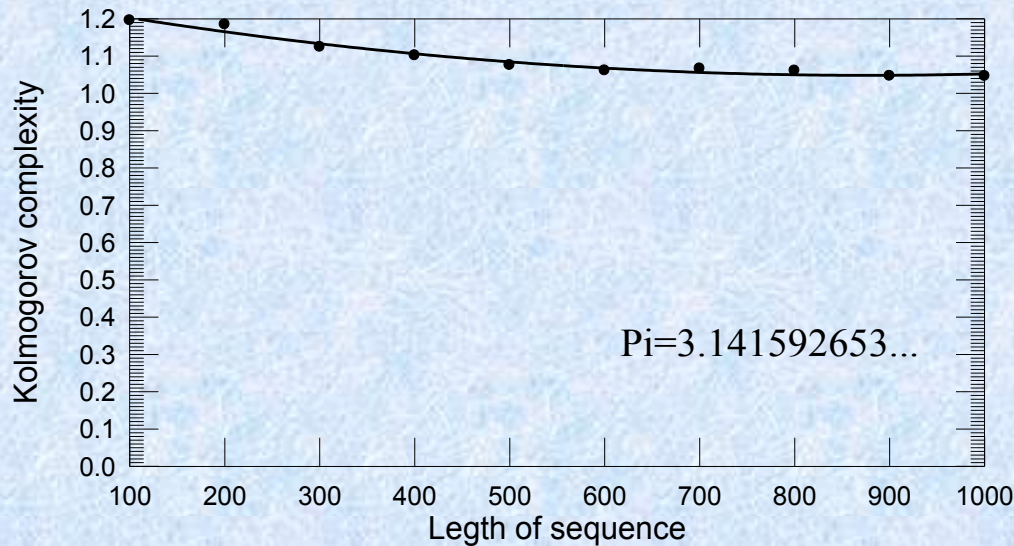
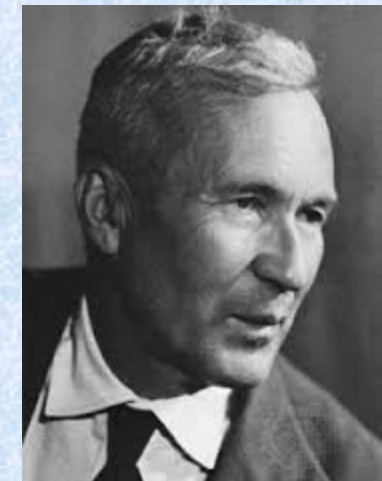
Kolmogorovova kompleksnost

- Najkraći program koji štampa određeni niz i nakon toga stane
- ababababababab – ‘8 puta ab’
- xc2v3trrrg7m99o6 - mora se navesti svih 16 karaktera
- Nije izračunljivo
- Lempel - Ziv algoritam za računanje

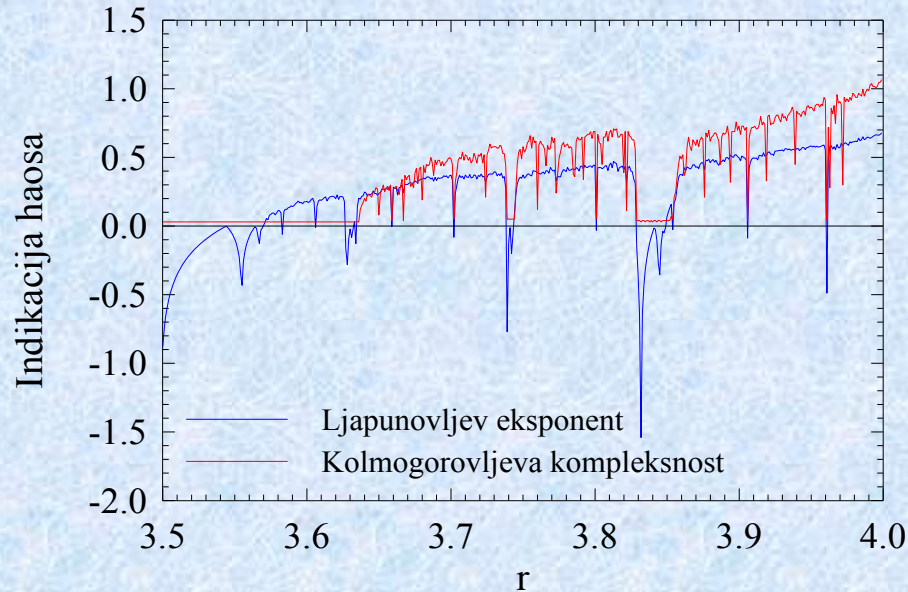
$$1) \quad s(i) = \begin{cases} 0 & x_i < x_t \\ 1 & x_i \geq x_t \end{cases}$$

$$2) \quad c(N) = O(b(N)), \quad b(N) = \frac{N}{\log_2 N}.$$

$$3) \quad C_k(N) = \frac{c(N)}{b(N)} = c(N) \frac{\log_2 N}{N}.$$



Kolmogorovljeva kompleksnost



- Indikator haotičnog ponašanja
- Analiza vremenskih serija (merenja)
- Temperatura vazduha, padavine, proticaj reka, koncentracija radona i td.



Jednačina energijskog bilansa

- Da bi sistem funkcionisao potrebno mu je snabdevanje energijom
- Dinamika razmene energije – jednačina energijskog bilansa

$$\begin{aligned} C_g \frac{\Delta T_g}{\Delta t} &= R_{net} - H - \lambda E - G & \rightarrow & C_g \frac{\Delta T_g}{\Delta t} = C_R(T_g - T_a) - C_H(T_g - T_a) \\ \frac{\Delta T_d}{\Delta t} &= \frac{1}{\tau}(T_g - T_d) & & -C_L d[b(T_g - T_a) + \frac{b^2}{2}(T_g - T_a)^2] - C_D(T_g - T_d) \end{aligned}$$

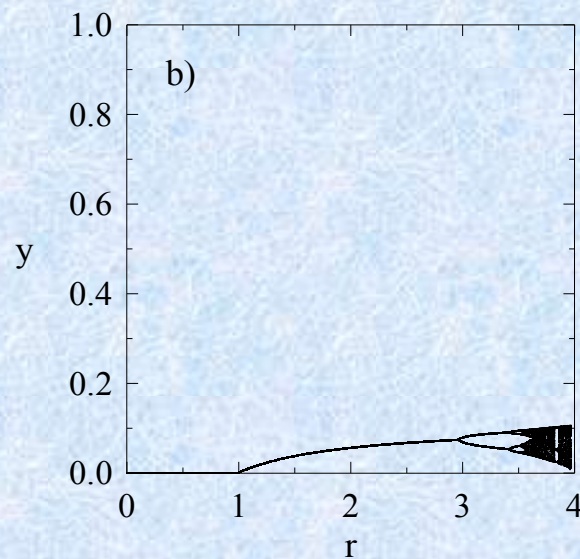
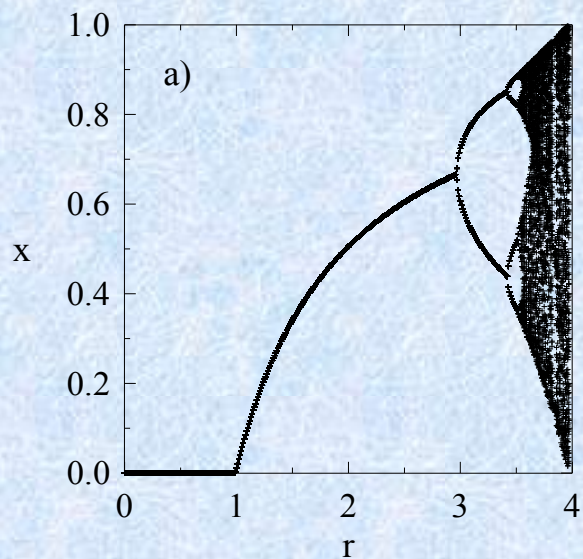
- Vremenska šema unapred + proširivanje jednačine sa T_a + deljenje sa neko T_0 (npr. 288 K, srednja globalna temperatura vazduha)

$$\begin{aligned} z_{n+1} &= Az_n - Bz_n^2 + Cy_n & \rightarrow & x_{n+1} = rx_n(1-x_n) + \varepsilon y_n \\ y_{n+1} &= Dz_n + (1-D)y_n & \rightarrow & y_{n+1} = \varepsilon(x_n + y_n) \end{aligned}$$

- sistem sparenih
mapa

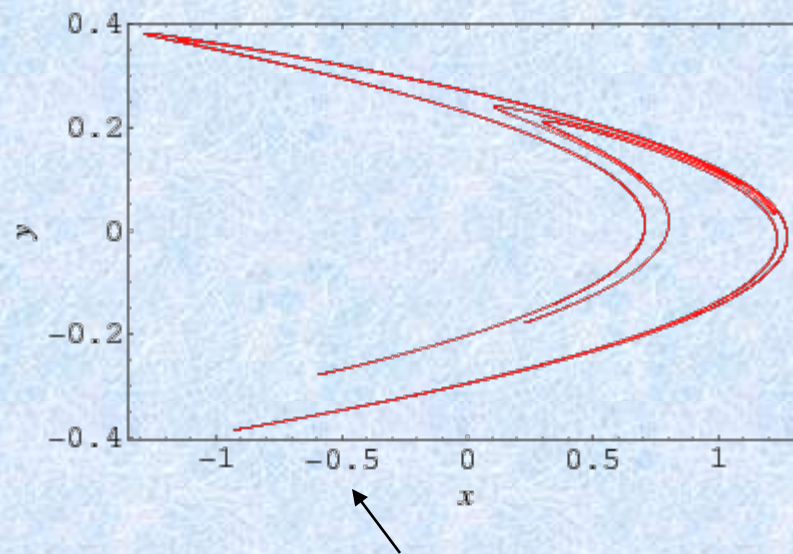
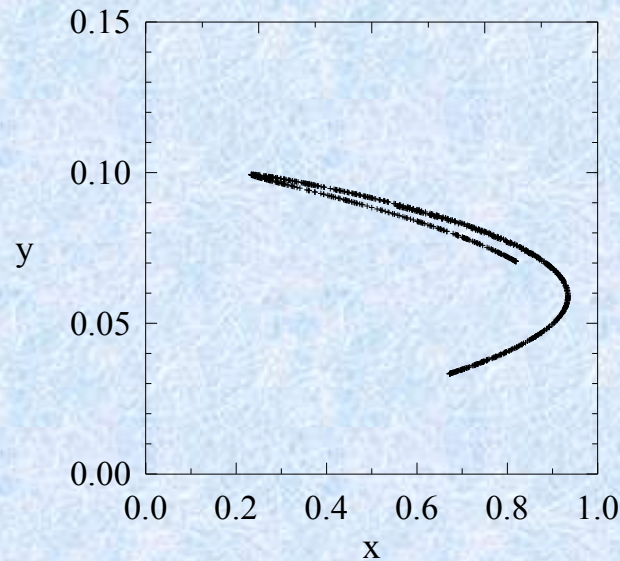
Analiza stabilnosti rešenja

- Bifurkacioni dijagrami sparenog sistema za r u intervalu $(0,4)$, $\varepsilon=0.1$ i početnim uslovima $x_0=0.2$ i $y_0=0.4$



Analiza stabilnosti rešenja

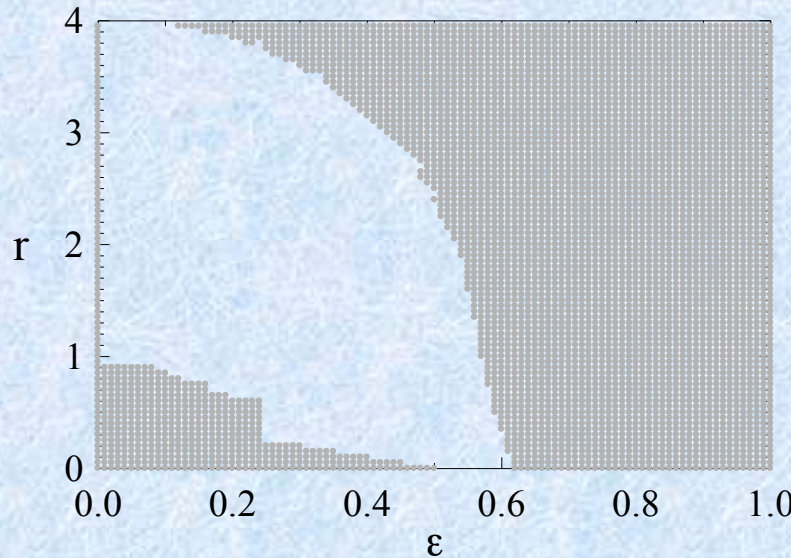
- Izgled atraktora u faznom prostoru sparenog sistema za vrednosti parametara $r=3.7$ i $\varepsilon=0.1$, pri početnim uslovma $x_0=0.2$ i $y_0=0.4$



Henonova
mapa

Analiza stabilnosti rešenja

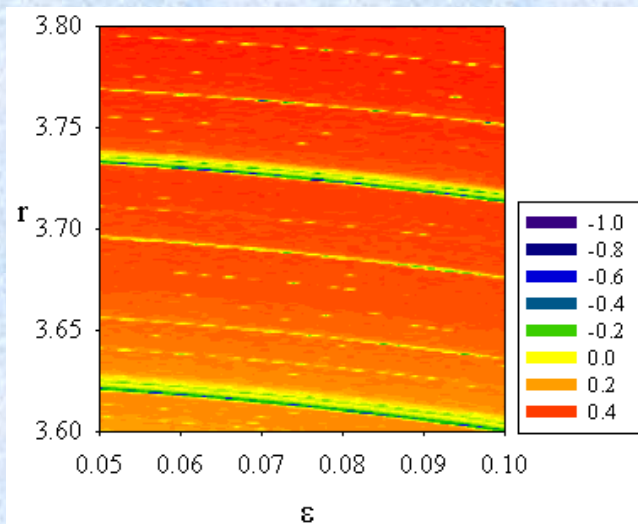
- Ispitivanje ponašanja sistema za različite vrednosti parametara r i ε



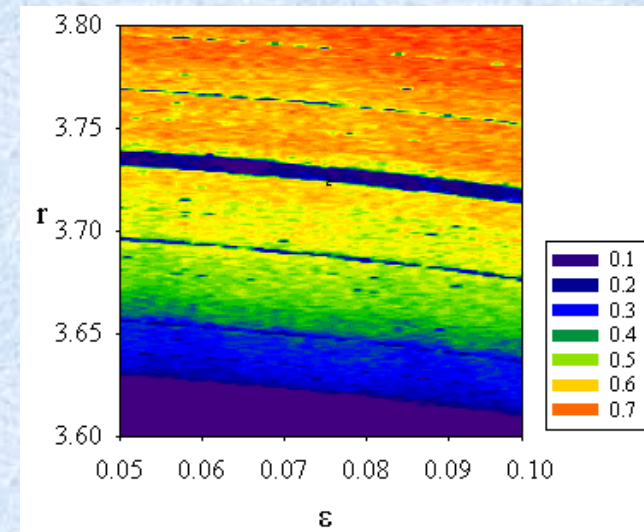
- Iz druge jednačine - parametar sparivanja ne sme da bude veći od 0.5 ($\varepsilon \leq 0.5$)
- Iz prve jednačine (gde se najveća vrednost člana koji sadrži x dobija kada za $x=0.5$ a najveća vrednost drugog člana za $y=1$) - novi uslov $r/4 + \varepsilon < 1$
- Detaljnije ispitivanje sistema za $r \in [3.6, 3.8]$
 $\varepsilon \in [0.05, 0.1]$

Analiza stabilnosti rešenja

Ljapunovljevi eksponenti



Kolmogorovljeva kompleksnost



- Pri određenim fizičkim uslovima - pojava haosa u sistemu, čime se unosi nesigurnost prilikom računanja temperature na površini zemljišta
- Temperatura na površini zemljišta, takozvana „skin“ temperatura, i za 10 °C veća od temperature vazduha na 2 m
- Mala promena u vrednostima parametara može da utiče na ponašanje sistema



Hvala na pažnji!

